

文章编号:1671-6833(2022)03-0001-07

一种基于空间划分树裁剪外包框的空间索引方法

熊 伟,李瑞清,陈 萃,曹竞之,资文杰

(国防科技大学 电子科学学院,湖南 长沙 410073)

摘 要:空间数据库中,基于 R 树的时空索引使用最小外包框对时空数据进行近似以提高查询效率,通过裁剪外包框的冗余空间可以进一步提高索引的效率。针对这一问题,提出了一种基于 CBB 的改进的时空索引方法。首先,将优化方法从平面二维拓展到了时空维度中,计算可能的裁剪点,在空间索引中记录外包框中的冗余空间范围,对索引节点外包框的裁剪空间进行优化,减少查询过程中不必要的子节点的计算;然后,分析时空维度中查询框与索引节点外包框的相交情况,对查询中后续判断的算法进行研究,避免裁剪过程中冗余的裁剪点比较,优化了基于时空索引进行范围查询的计算过程。实验结果表明:所提空间索引方法裁剪索引节点外包框大小是 CBB 方法的 3 倍,且减少了 40% 的节点计算量,查询耗时降低了 20%,进一步提升了基于空间划分树的时空索引的查询性能。

关键词:地理信息;空间查询;时空索引;R 树;裁剪外包框

中图分类号: TP392

文献标志码: A

doi:10.13705/j.issn.1671-6833.2022.03.016

0 引言

随着空间数据的应用日益增长,以 Oracle Spatial、IBM Informix、PostGIS 和 HyPerSpace 为例,主流数据库系统都具备了空间拓展功能,而实现空间拓展功能的关键是高效的空間索引。目前大多数的空间索引方法都是采用空间划分的思想,其中,应用最多的是基于最小外包框(minimum bounding box,MBB)的 R 树^[1]及其相关的各类变种树(如 R* 树)。因此,对最小外包框的改进是提高索引效率的重要优化方法。

最小外包框是基于 1 组多维数据的最小外包矩形,仅需要存储 2 个多维点就可以用来近似表示从简单的点到复杂的空间形状。通常,空间中位置相近的对象会被存储在同一个索引节点内,并且用它们的 MBB 来表示整个节点。这种方法的优点主要是:①计算简单,计算复杂度为线性,易于计算 MBB 与查询窗口之间是否相交;②存储空间紧凑,只需要记录 2 个空间中的点。外包框之间的相交判断是空间索引中至关重要的一环,因为大多数的查询操作都依赖于这种判断,例如 R 树的构建和范围查询阶段^[2]、遍历树阶段、执行

空间连接阶段^[3]等。

空间数据的划分质量直接影响到空间索引的查询效率,而数据划分的质量通常依据 MBB 之间相互重叠的程度来判定。若 MBB 之间相交重叠度较高,则直接导致数据划分精度不高,使得查询时需要遍历索引树中的多个路径。冗余的覆盖面积增加了查询框与 MBB 相交的可能性,但与 MBB 内的实际对象相交的可能性无关。

如何最小化 MBB 的覆盖范围相关学者在 R 树的各种优化中已做了充分的研究。针对 MBB,研究者们通过各种多边形来拟合并且进行了比较^[4],甚至采用圆形和圆锥^[5]来拟合空间数据,但普遍存在如下缺点:①表示的复杂程度增加;②相交测试的复杂性;③突起区域造成的冗余数据空间的下限过高。Sidlauskas 等^[6]提出了一种裁剪外包框(clipping bounding box,CBB)的方法,针对 R 树结构中的每一个 MBB 节点,多存储一系列辅助点来记录冗余空间。该方法不仅巧妙地避免了复杂的表示方法,也没有使数据的相交计算复杂化,且 R 树的构建方法和结构没有任何修改,只是额外记录 1 组空间数据,因此该方法能够广泛应用于各类基于 MBB 的空间索引中^[7-9],适用性非常广泛。

收稿日期:2021-07-12;修订日期:2022-01-03

基金项目:国家自然科学基金资助项目(41871284,41971362);湖南省自然科学基金资助项目(2020JJ4663)

通信作者:陈萃(1973—),男,湖南长沙人,国防科技大学教授,博士,博士生导师,主要从事地理信息系统和空间数据库研究,E-mail:luochen@nudt.edu.cn。

由于基于 CBB 的空间索引方法在查询过程中比较了全部的裁剪点,在面对查询框覆盖范围较大的情况时,查询性能较低;且在扩展到三维空间索引时,CBB 方法没有考虑相邻顶点的情况,裁剪空间并不是最优的。因此,对索引节点外包框的空间进行优化裁剪,可以减少查询过程中不必要的子节点的计算量;通过分析时空维度中查询框与索引节点外包框的相交情况,对查询中后续判断阶段的算法进行研究,避免冗余的裁剪点比较,进一步优化基于时空索引进行范围查询的查询效率。

1 IB-CBB 索引方法

1.1 CBB 方法

裁剪外包框(CBB)方法主要是针对冗余空间,即 MBB 中没有实际对象的区域,如图 1 中最小外包框 Rectangle 中非灰色的区域。它的核心思想是在索引结构中的每个叶节点中多存储 1 组辅助点来记录冗余空间,判断查询框与节点外包框相交情况。若相交,则与辅助点比较,用来判断查询框是否与节点中的真实数据相交,数据相交则进一步沿子节点继续比较;否则直接停止。

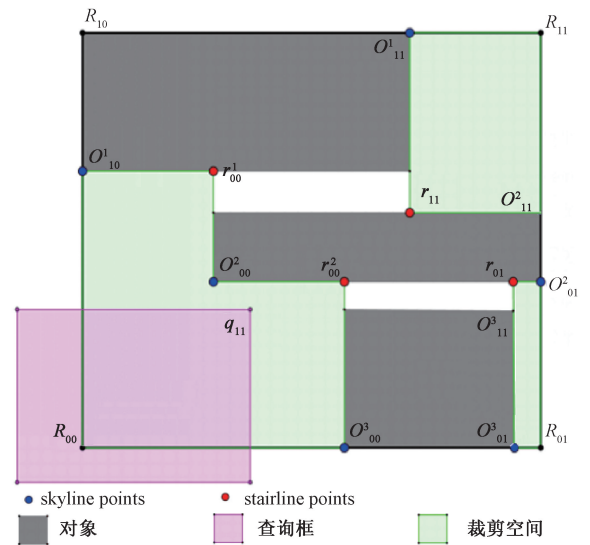


图 1 二维空间的裁剪外包框

Figure 1 Clipping bounding box in 2D

该方法与辅助点裁剪掉的空间密切相关,只有当查询框位于被裁剪的空间中,该方法才有优化效果。虽然优化过程中增加了辅助点的比较,但减少了后续的子节点逐一比较环节,降低了计算量。反之,若查询框与子节点(真实数据)相交,则增加了冗余的辅助点计算。

该方法在二维的空间索引中能够在最大程度

上裁剪 MBB 四周的冗余空间,但在时空索引和更高维度的索引中,CBB 方法表现并没有那么突出,因为在时空维度及以上的高维空间中,CBB 方法得出的记录点并不是各顶点裁剪冗余空间的最优解点。计算辅助点的思想是基于天际线(skyline)中支配(dominate)的概念^[7]。

定义 1 支配和支配的参考点。当点 p 比点 q 在各方面都更加符合条件时,则称 p 支配了 q 。

定义 2 各顶点的天际线点集(skyline points)。对于某个顶点,顶点的 skyline points 是所有不被外包框中任何其他点支配的点的集合。

定义 3 阶梯点集(stairline points)。由 skyline points 拼接出来的点集。

以图 1 为例, R_{11} 为参考顶点,首先计算 R_{11} 方向的 skyline points,只需要考虑代表 3 个子节点的 O_{11}^1 、 O_{11}^2 、 O_{11}^3 ,根据支配的定义, O_{11}^3 被 O_{11}^2 支配,因此只有 O_{11}^1 和 O_{11}^2 是 R_{11} 的 skyline points。再根据二者的坐标组合出距 R_{11} 最远的点 r_{11} ,即为 stairline points。同时求出另外几个方向的 stairline points。

1.2 CBB 方法在多维空间中的优化

将 CBB 方法扩展到多维空间,以图 2 为例,采用 CBB 方法对 MBB 进行裁剪。根据 R_{100} 的 3 个 stairline points,可以明显看到有些 stairline points 不是最优解,即仍存在能够裁剪更多空间的点。这是因为,当 CBB 方法在求某顶点的裁剪点时,没有考虑相邻的 3 个顶点。在二维平面的空间索引中,显然不需要这一步,因为一定存在一个空间数据支配它相邻的顶点,否则 MBB 的边界将会变得更小。

而在时空索引中,1 个顶点的相邻顶点是必须要考虑在内的。 R_{100} 、 R_{101} 的顶点与其相邻顶点间没有任何空间数据,该相邻顶点与其他 skyline points 生成的点有可能成为裁剪点。

其次,假设在 3 维空间中存在许多障碍物点和 1 个从原点出发、同时向 3 个维度的正方向延伸的、不断膨胀的空间立方体,当该空间立方体触碰到障碍物时,向该维度方向的扩张即停止,但仍可以向其他维度不断扩张,直到 3 个维度方向上都遇到障碍物点。简单地说,就是在空间中求一个最大的、且不包含任何障碍物点的立方体。从另一个角度讲,也可以认为空间中的 1 个障碍物点仅可以阻止空间立方体向 1 个维度的扩张。

根据上述分析,CBB 方法只用了 2 个障碍物

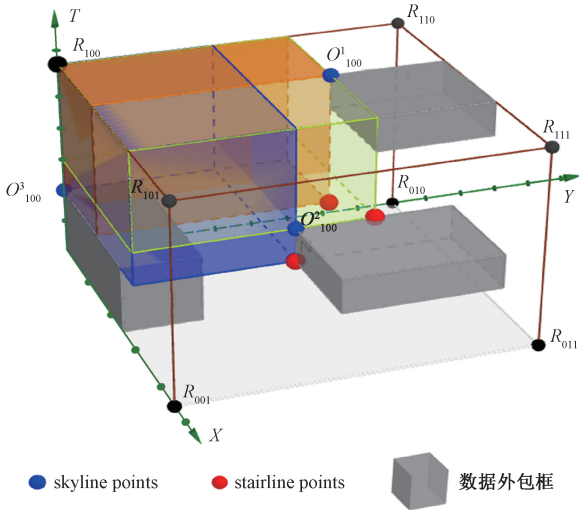


图 2 三维索引中的裁剪外包框

Figure 2 Clipping bounding box in multi dimension

点来限制空间立方体,该立方体不是最优的,它仍可以向另一个维度方向继续延伸,也就是说,对于CBB方法求出的点,均可以找到更好的点,使得裁剪的空间更大。

因此,优化方法的主要思路是:在高维空间中根据各顶点方向分别求 skyline points。在高维空间中求 skyline points 的方法很多^[10],但考虑到 R 树叶节点中存储子节点数量不多,可以采用最简单的嵌套循环方法。

该方法分别计算 stairline points,并用 skyline points 过滤被支配的点,但此时需要额外的记录。在 skyline points 的拼接过程中,根据拼接点的不同组合情况进行扩展,具体算法如下。

算法 1 拓展裁剪点算法。

输入:skyline points $Sk_g(R)$;

输出:expand points $E_g(R)$ 。

- ① for each $Sk_i \in Sk_g(R)$ do
- ② for each $Sk_j \in Sk_g(R), j > i$ do
- ③ $l_x = R_g(Sk_i, Sk_j)$ //合并 skyline points
- ④ $Sk_g(R)_{xy}, Sk_g(R)_{xt}$ //计算 skyline points
- ⑤ N_1, N_2 //计算扩展点
- ⑥ $E_g(R).append(N_1, N_2)$
- ⑦ $E_g(R).distinct$ //去重复

1.3 基于相交的 CBB 方法

在查询过程中,能够优化的查询计算量趋于一个固定值,而该值仅与实验数据和空间索引的构建方法相关。当查询外包框越大时,总体的计算量越大,辅助点与查询框比较的计算次数越多,而优化的计算量却保持不变,因此,当查询外包框

越大,采用优化后的空间索引或时空索引查询性能会越低。

为验证该结论,将所有矩形对象在大小和形状方面变化较大的数据集 par03 上进行测试,分别用 R 树方法和通过裁剪外包框优化后的 CBB 方法构建索引,并随机选取同等级外包框 100 000 个,分别在 2 个索引下进行查询,统计查询的总时间。通过修改查询外包框的大小来改变查询结果的数量级。当扩大查询的范围时,空间索引的查询效率如图 3 所示,图中曲线为 CBB 方法查询耗时与 R 树方法查询耗时的比值。

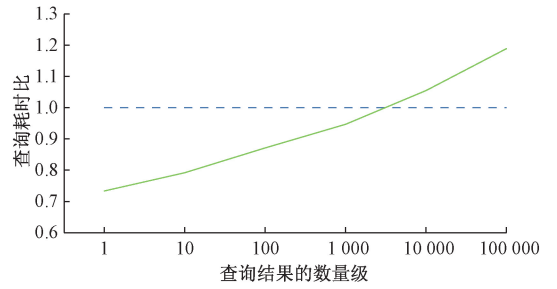


图 3 CBB 与 R 树方法的查询效率

Figure 3 Performance of CBB and R tree

由图 3 可以看出,当查询范围增大时,耗时增加,尤其是当查询外包框所包含的数据量超过 10 000 时,由于裁剪法中需要将大量辅助的裁剪点与查询外包框比较,导致查询效率降低。为解决该问题,本文提出一种基于相交的 IB-CBB(intersection based clipping bounding box)查询优化算法。

查询框与数据节点外包框的相交情况可以分为 3 种类型:一维相交、二维相交和三维相交。

(1)一维相交。在一维层面上分析 2 条线段的相交情况,如图 4 所示,共有 4 种结果:左相交(0)、右相交(1)、被包含(2)和包含(3)。其中,紫色线段表示查询框,黑色线段表示数据节点外包框,向左为负方向,向右为正方向。分别用 0、1、2、3 来表示 1 个维度上的 4 种不同的相交情况。

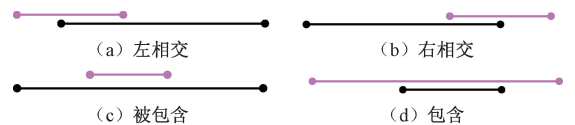


图 4 一维相交情况

Figure 4 Intersection of 1D

(2)二维相交。由于 1 个维度共有 4 种相交情况,根据排列组合可知,在二维中存在 16 种相

交情况,如图 5 所示。其中,白色区域为最小外包框(Rectangle),紫色区域为查询框(Query)。

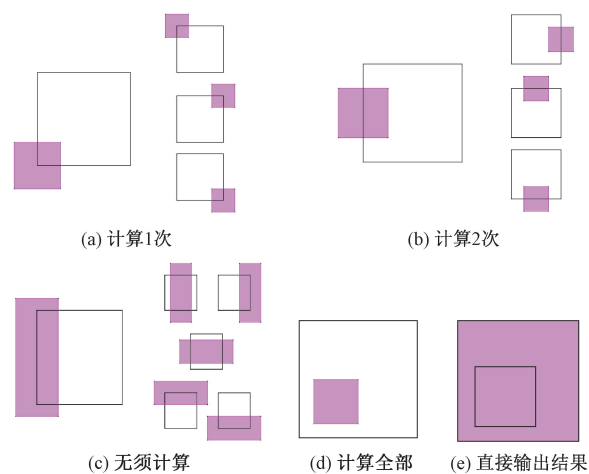


图 5 二维相交情况

Figure 5 Intersection of 2D

(3) 三维相交。三维相交情况较为复杂,存在 3 个维度,每个维度 4 种情况,排列组合共计 64 种情况。相交情况如图 6 所示,可分为 6 类。

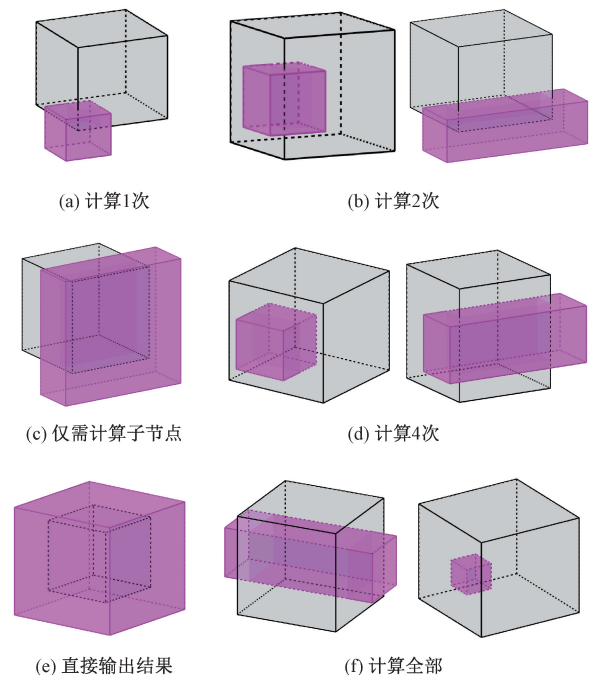


图 6 三维相交情况

Figure 6 Intersection of 3D

图 6(a)表示查询立方体仅与节点立方体的 8 个顶点所在角落相交,因此只需要和对应的 8 个顶点内存储的辅助裁剪点比较即可。

图 6(b)表示查询立方体与节点立方体的 12 个棱相交,或贯穿这 12 个棱,与棱相邻的 2 个顶点内存储的裁剪点都有可能支配查询立方体,因

此需要将 2 个顶点内的裁剪点进行比较。

图 6(c)表示查询立方体能够完全包含节点立方体的一个面,故必然和节点内的数据相交,因此无须与辅助点进行比较,直接进入子节点逐一比较的步骤。

图 6(d)表示查询立方体与节点立方体的 6 个面相交,或纵向/横向贯穿这 6 个面,在这个面上的 4 个顶点内存储的裁剪点都有可能支配查询立方体,因此需要将这 4 个顶点内的裁剪点进行比较。

图 6(e)表示节点立方体极小而查询立方体很大的情况,一般会出现在查询过程的中下层节点中,此时节点立方体完全被查询立方体包含,该节点中的所有数据必然均属于查询结果,可以直接将其包含的所有叶节点作为结果输出。

图 6(f)表示查询立方体极小而节点立方体很大的情况,一般会出现在查询过程的上层节点中,这种情况较为复杂,只能将各顶点存储的所有裁剪点与之比较,故需要计算全部的裁剪点。

算法 2 相交情况判断。

输入: 维度数 n , 查询范围 Q . $\min[n]$, Q . $\max[n]$, 节点外包框 R . $\min[n]$, R . $\max[n]$;

输出: 相交结果 $IR[n]$ 。

- ① for $i \leftarrow 0$ to n //每个维度判断相交情况
- ② if $Q.\min[i] \leq R.\min[i]$ then//判断为 0 或 3
- ③ if $Q.\max[i] > R.\max[i]$ then
- ④ $IR[i] = 0$
- ⑤ else $IR[i] = 3$
- ⑥ else if $Q.\max[i] < R.\max[i]$
- ⑦ then//判断为 1 或 2
- ⑧ $IR[i] = 2$
- ⑨ else $IR[i] = 1$
- ⑩ return $IR[n]$ //各维度相交情况结果

算法 2 为判断相交情况的计算方法。该方法需要输入维度数 n 和查询框 Query 及节点外包框 Rectangle 的各维度最大/最小值。由于此步骤在判断查询框与节点外包框相交后,故二者一定在每个维度上均存在一部分相交,可参考一维相交的 4 种情况。对于第 i 个维度,若 $Q.\min[i] \leq R.\min[i]$ 且两者相交,则相交结果一定为 0(左相交)或 3(包含),此时仅需要进一步判断 $Q.\max[i]$ 与 $R.\max[i]$ 的关系。若 $Q.\max[i] > R.\max[i]$,则相交情况为 0(左相交)或 3(包含);若 $Q.\max[i] < R.\max[i]$,则相交结果为 1(右相交)或 2(被包含)。

优化方法的查询过程如图 7 所示,当判断查询框与节点外包框相交后,增加判断相交情况的

步骤。当判断相交结果为“须计算”时,将对应的裁剪点与查询框进行比较,判断支配关系;当相交结果为“无须计算”时,直接进入子节点逐一比较的步骤,无须与裁剪点进行比较计算;当判断为“直接输出结果”时,无须比较子节点,直接将该节点下的所有叶节点作为结果输出。当所有节点计算完毕时,查询结束。

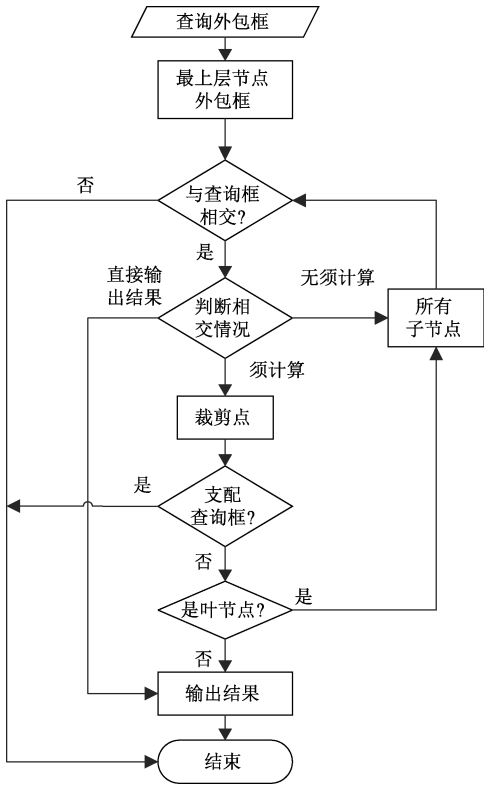


图 7 IB-CBB 算法查询过程

Figure 7 Query process of IB-CBB algorithm

2 实验部分

2.1 数据集和实验环境

所有实验均使用处理器 Intel Xeon 32 core * 2 2.10 GHz、文件系统为 XFS、物理内存为 256 GB 服务器。系统运行采用 Ubuntu 14.04,代码使用 C++编译。

针对时空索引的裁剪方法,将原方法和改进方法进行比较,并应用于现有的多维索引标准 (benchmark)^[11]中进行验证。本文选择了 3 个不同数据分布密度的数据集进行实验:①abs03,由面积相等的四边形等距分布生成,这些四边形在位置和延伸方面略有不同,用于面积相等、均匀分布的空间数据测试;②rea03,包含 11 958 999 个点,组成 3 个维度的数据集,用于多维空间数据的测试;③par03,空间对象在体积和分布方面均有很大变化,用于体积不相等、分布不均匀的空间数

据测试。数据集具体描述见表 1。

表 1 实验数据集描述

Table 1 Description of the dataset

数据集	维度	空间对象个数	数据类型	空间分布	空间对象
abs03	2	100 000	四边形	均匀	面积相等
rea03	3	11 958 999	点	不均匀	
par03	3	1 048 576	立方体	不均匀	体积相等

2.2 裁剪面积结果

根据 R 树窗口查询代价模型^[1],给定高度 h , N_l 表示第 l 层节点数目, n_{li} 表示第 l 层第 i 个节点,设 $x_{li} \cdot y_{li}$ 为 n_{li} 的最小外包框,则对于 $X \cdot Y$ 的窗口查询,在数据空间归一化后,预期的磁盘访问次数 DA 为

$$DA = \sum_{1 \leq l \leq h} \sum_{1 \leq i \leq N_l} [(x_{li} + X) \cdot (y_{li} + Y)]. \quad (1)$$

若裁剪点对 n_{li} 最小外包框的面积优化比例为 P ,而裁剪点对外包框边长没有影响,则优化后,预期磁盘访问次数为

$$DA_c = \sum_{1 \leq l \leq h} \sum_{1 \leq i \leq N_l} (x_{li} \cdot y_{li} \cdot P + x_{li} \cdot Y + y_{li} \cdot X + X \cdot Y). \quad (2)$$

假设索引节点外包框平均边长都为 e ,则可以粗略估计 $DA_c \approx [e^2 \cdot P + e(X + Y) + X \cdot Y]$ 。若索引节点的平均边长和查询框边长均为数据空间范围的 1%,则可以估算 $DA_c / DA = (P + 3) / 4$ 。当 $P = 95\%$,即裁剪后优化冗余空间比例为 5%时,查询性能提升约为 1.25%。

图 8 为裁剪空间对查询性能的影响。由图 8 可以看出,节点访问量比值(优化后节点访问量与优化前节点访问量的比)越小越好。当裁剪冗余空间比例小于 5%时,带来的节点访问量优化可以忽略不计。同时也可以看出,当数据集平均边长越小,裁剪效果带来的性能提升也相对较小。

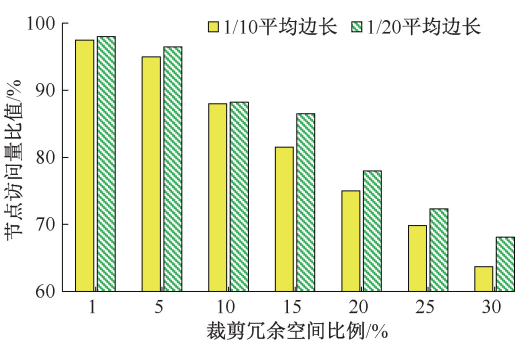


图 8 裁剪空间对性能的影响

Figure 8 Performance effect of clipping spaces

使用本文方法后裁剪空间效果如图 9 所示。横坐标表示每个节点的最大辅助点存储数量,纵坐标表示本文方法裁剪空间占总空间的比例。CORNER 和 EXPAND 分别为本文方法对 CBB 方法第 1 次和第 2 次优化后的裁剪空间占总空间的比例。

实验对裁剪点设定了一个 5% 的阈值,即裁剪空间占节点比例小于 5% 的点不会被记录,因为裁剪比例过小对于索引性能的提升不明显,却占用了存储空间和计算量。为了研究存储辅助点的数量 k 与裁剪空间之间的关系,分别选择 $k=1, 4, 8, 16, 32$ 进行实验。由图 9 可知,当存储点的数量超过 8 时,继续增加存储点对于裁剪空间的提升不明显。但是增加辅助点存储数量会直接增加查询过程中的辅助点比较次数,因此 k 值不应过大。

如图 9 所示,本文方法在时空索引上的裁剪效果最突出,在空间数据形状、大小和分布 3 个特征上,均能够将时空索引中的大多数冗余空间裁剪掉,效果明显优于 CBB 方法,几乎达到了 CBB

方法裁剪空间的 3 倍。

2.3 范围查询中的性能提升

本文对常用的空间范围查询性能进行了实验。对 par03 数据集,查询不同规模大小的外包框,对比 IB-CBB 方法和 R 树方法、R* 树方法的节点访问量,如图 10 所示。横坐标为每个节点存储的辅助点数量,纵坐标为优化后的节点访问数量与 R 树方法、R* 树方法节点访问量的比值,比值越小说明访问性能越好。查询的数据集 QR0、QR2、QR3 来自文献[11],分别表示查询 1 个、100 个和 1 000 个数据的外包框数据集。

由图 10 可以看出,本文优化方法对范围查询的性能有很大的提升。查询的外包框越小,减少的节点访问量越多,甚至在一些情况下可以减少 40% 的节点计算次数。增加辅助点的存储数量亦可以减少节点的访问量,但同时会增加辅助点的计算次数,在一定程度上降低了查询效率。

2.4 索引优化情况对比

在多维索引上,分别对数据集 abs03 和 par03

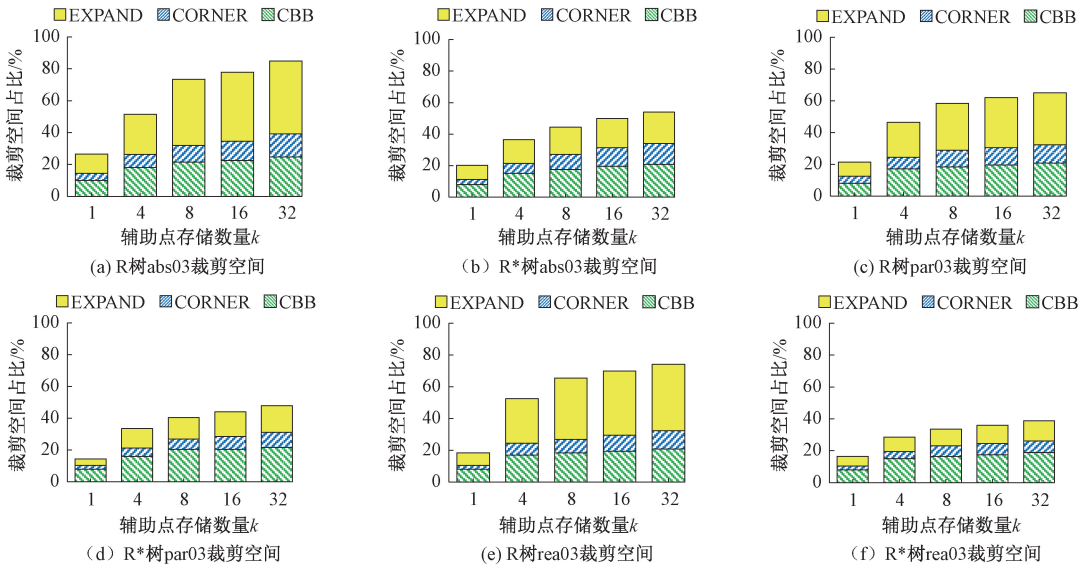


图 9 裁剪空间比较

Figure 9 Comparison of clipping spaces

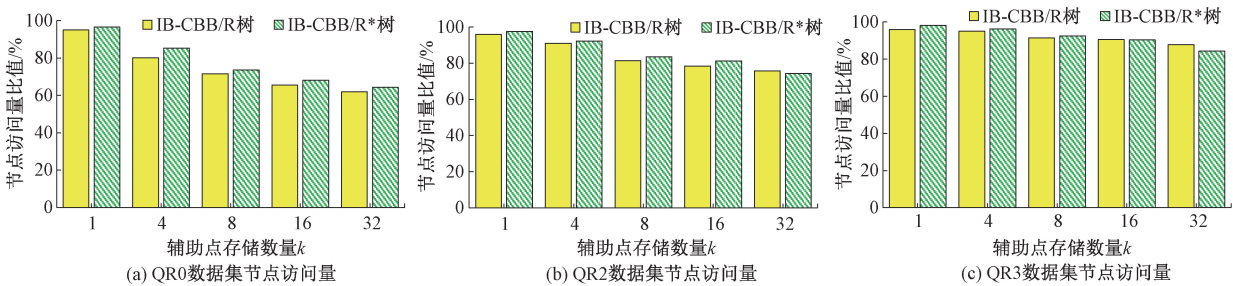


图 10 节点访问量

Figure 10 Count of node access

建立时空索引,采用 R 树建立的时空索引作为原方法,用裁剪空间拓展后的 CBB 方法在时空维度建立时空索引作为裁剪方法,采用本文 IB-CBB 方法作为相交情况优化方法。

改变查询框的大小以改变查询范围的规模,以 R 树方法的查询时间为参照,优化拓展后的 CBB 方法和 IB-CBB 方法的查询时间与 R 树方法比值变化趋势如图 11 所示,其中纵坐标为 CBB 方法和 IB-CBB 方法查询耗时与 R 树方法耗时的比值。当查询范围较小时,优化拓展后的 CBB 方法效率仍为最优,但 IB-CBB 方法仍比 R 树方法查询效率高,查询耗时为 R 树方法的 80%;而在查询范围较大时,IB-CBB 方法的优势突出,并且时空索引下的相交情况优化法相较于二维下,性能优势更加明显。

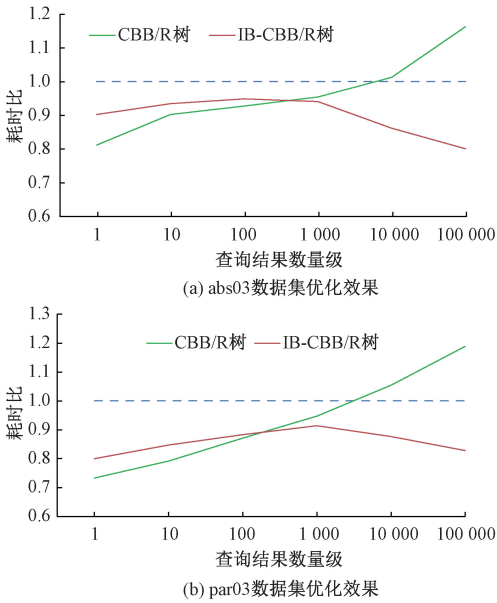


图 11 索引性能对比

Figure 11 Performance comparison of index

3 结论

本文分析了一种 CBB 优化方法,通过存储额外的辅助点标记外包框角落中的冗余空间,减少查询过程中不必要的子节点计算。将该方法从二维平面的空间索引拓展并应用到三维时空索引中,更符合时间多版本影像数据的时空特性,并且针对 R 树方法无法在时空索引中求出最优解的问题,通过将辅助裁剪点进一步向各维度扩展,计算出裁剪冗余空间的最优解,有效减少了查询过程中的节点访问数量,进一步提升了时空索引的查询性能。本文构建了一种基于相交判断的裁剪

外包框时空索引,实验结果表明,IB-CBB 索引方法裁剪索引节点外包框面积是 CBB 方法的 3 倍,减少了 40% 的节点计算,查询耗时降低了 20%,进一步提升了基于空间划分树的时空索引的查询性能。

参考文献:

[1] GUTTMAN A. R-trees: a dynamic index structure for spatial searching[J]. Acm sigmod record, 1984, 14 (2):47-57.

[2] XU H, LIU N, TAI W P, et al. Range queries in spatial index research based on the spark[C]//2017 2nd IEEE International Conference on Computational Intelligence and Applications. Piscataway:IEEE, 2017: 46-50.

[3] XIAO J T, ZHANG Y C, JIA X H. Clustering non-uniform-sized spatial objects to reduce I/O cost for spatial-join processing[J]. The computer journal, 2001, 44(5): 384-397.

[4] JAGADISH H V. Spatial search with polyhedra[C]//Proceedings of Sixth International Conference on Data Engineering of Piscataway:IEEE, 1990: 311-319.

[5] DANKO O, SKOPAL T. Elliptic indexing of multidimensional databases[C]//Proceedings of the Twentieth Australasian Conference on Australasian Database. Wellington: Australian Computer Society, 2009: 85-94.

[6] SIDLAUSKAS D, CHESTER S, ZACHARATOU E T, et al. Improving spatial data processing by clipping minimum bounding boxes[C]//2018 IEEE 34th International Conference on Data Engineering. Piscataway: IEEE, 2018: 425-436.

[7] LANGENDOEN K, GLASBERGEN B, DAUDJEE K. NIR-tree: a non-intersecting R-tree[C]//33rd International Conference on Scientific and Statistical Database Management. New York: ACM, 2021: 157-168.

[8] EVAGOROU G, HEINIS T. MAMBO-indexing dead space to accelerate spatial queries[C]//33rd International Conference on Scientific and Statistical Database Management. New York: ACM, 2021: 73-84.

[9] MAHMOOD A R, PUNNI S, AREF W G. Spatio-temporal access methods: a survey (2010-2017)[J]. GeoInformatica, 2019, 23(1): 1-36.

[10] SON W, STEHN F, KNAUER C, et al. Top-k manhattan spatial skyline queries[J]. Information processing letters, 2017, 123: 27-35.

[11] BECKMANN N, SEEGER B. A benchmark for multi-dimensional index structures[EB/OL]. (2008-03-29) [2020-11-15]. <http://www.mathematik.uni-marburg.de/~seeger/rstar/>.

Overview of New Swarm Intelligent Optimization Algorithms

GAO Yuelin^{1,2}, YANG Qinwen^{1,2}, WANG Xiaofeng¹, LI Jiahang^{2,3}, SONG Yanjie⁴

(1. School of Computer Science and Engineering, North Minzu University, Yinchuan 750021, China; 2. Ningxia Key Laboratory of Intelligent Information and Data Processing, North Minzu University, Yinchuan 750021, China; 3. School of Mathematics and Information Science, North Minzu University, Yinchuan 750021, China; 4. College of Systems Engineering, National University of Defense Technology, Changsha, 410073, China)

Abstract: Intelligent optimization algorithms could be divided into four categories: nature-like optimization algorithm, evolutionary algorithm, plant growth simulation algorithm, and swarm intelligence optimization algorithm. The swarm intelligence optimization algorithm was the most important type of algorithm. It played an important role in solving complex engineering problems, and together with image processing, fault detection, path planning, particle filtering, feature selection, production scheduling, intrusion detection, support vector machines, wireless sensors, neural network models, and got more extensive applications in other fields. In recent years, intelligent optimization algorithms such as bat algorithm, fruit fly optimization algorithm, whale optimization algorithm, salp swarm algorithm, and harris hawks optimization algorithm were widely used. Based on these five new swarm intelligence optimization algorithm, the model, characteristics, improvement strategies and application fields of the algorithm were reviewed. It analyzed the development opportunities and future trends it faced from theoretical investigations, improvement strategy and application studies, and provided a guidance on algorithm application. Findings showed that swarm intelligence optimization algorithm could perform well on many classic problems, but still should be expanded in the fields of multi-objective optimization, multi-constraint optimization, dynamic optimization, and mixed variable optimization. Effective parameter control of different groups of intelligent optimization algorithm in the face of various specific problems was still the focus of future studies. Co-evolution from populations, exploring more efficient hybrid methods and search strategies could be feasible solutions.

Keywords: swarm intelligence optimization algorithm; bat algorithm; fruit fly optimization algorithm; whale optimization algorithm; salp swarm algorithm; harris hawks optimization algorithm

(上接第 7 页)

A Spatial Index Based on Clipping Bounding Box of Space Partitioning Tree

XIONG Wei, LI Ruiqing, CHEN Luo, CAO Jingzhi, ZI Wenjie

(School of Electronic Science, National University of Defense Technology, Changsha 410073, China)

Abstract: In spatial databases, spatio-temporal indexes based on R tree use minimum bounding box (MBB) to approximate spatio-temporal data to improve query efficiency, and the efficiency of indexing can be further improved by by clipping the bounding box. To address this problem, an improved spatio-temporal indexing method based on CBB was proposed, which firstly extended the method from two dimensions to the spatio-temporal dimension and obtained the possible clipping points by calculation, and recorded these points in the index for optimizing the clipping space of the bounding box of the index nodes, which could reduce the unnecessary child-node search in the query process. Then, the intersection of query box and the MBB of index node was analyzed, and the range query processing algorithm was further optimized, thus avoiding redundant comparison of clipping points in the query process. The experimental results showed that the indexing method could clip the space of the MBB of index nodes three times more than the original method, and could reduce the node computation by 40%, and could reduce the query time by 20%, which further could improve the query performance of spatial division tree-based spatio-temporal index.

Keywords: geographic information; spatial query; spatial index; R tree; clipping bounding box